

УДК 629.78 : 681.51

ВЕКТОРНОЕ ПОЛИНОМИАЛЬНОЕ ПРЕДСТАВЛЕНИЕ ЗАКОНОВ НАВЕДЕНИЯ И АНИМАЦИЯ ДВИЖЕНИЯ СПУТНИКА ЗЕМЛЕОБОЗОРА

©2015 Т.Е. Сомова

Самарский государственный технический университет
НИИ Проблем надежности механических систем

Статья поступила в редакцию 20.10.2015

Описываются методы аналитического представления законов углового наведения спутника землеобзора при сканирующей оптико-электронной съемке и разработанные программные средства для анимации его пространственного движения с отображением маршрутов съемки на поверхности Земли.

Ключевые слова: спутник землеобзора, законы углового наведения, анимация движения.

Работа поддержана РФФИ (гранты 14-08-01091, 14-08-91373) и отделением ЭММПУ РАН.

ВВЕДЕНИЕ

В статье приводятся краткие сведения о разработанных методах оптимизации законов углового наведения спутника землеобзора для произвольного маршрута сканирующей съемки и методах анализа вектора скорости движения изображения (СДИ) в произвольной точке матриц оптико-электронных преобразователей (ОЭП). Эти методы используют теоретические основы космической геодезии [1-7] и конкретизированы для трассовых, геодезических и криволинейных маршрутов [8]. Приводится технология аналитического представления законов углового наведения спутника при сканирующей съемке, основанная на интерполяции расчетных данных векторной функцией модифицированных параметров Родрига, а также результаты, которые демонстрируют эффективность разработанных алгоритмов.

При проектировании космических систем наблюдения, в том числе с применением сканирующей съемки поверхности Земли, применяются компьютерные средства 3D-анимации. Решение общей задачи моделирования, имитации и анимации движения космического аппарата (КА) представляется следующими этапами: расчет параметров поступательного орбитального и углового движения КА для заданной последовательности различных маршрутов съемки; визуализация поверхности Земли с учетом освещенности; расчет трассы полета, зон покрытия и следа линии визирования; отображение конструкции КА с учетом засветки ее элементов Солнцем; организация визуального отображения пространственного движения КА. Для решения этих задач используется программ-

ная система SIRIUS-S [9] и ее подсистема визуализации расчетных результатов в трёхмерной графике, созданная в среде программирования Delphi 7 с применением графической библиотеки OpenGL. Приводятся результаты практического применения разработанных алгоритмов аналитического представления законов наведения при анимации пространственного движения спутника землеобзора.

ПОСТАНОВКА ЗАДАЧИ

Рассматривается спутник землеобзора, оснащенный телескопом с матрицами ОЭП в его фокальной плоскости. При съемке заданных участков поверхности Земли совокупностью маршрутов их сканирования матрицы ОЭП работают в режиме временной задержки и накопления (ВЗН).

Используются стандартные системы координат (СК) – инерциальная (ИСК) с началом в центре Земли, гринвичская геодезическая (ГСК), горизонтная (ГорСК) с эллипсоидальными геодезическими координатами L, B и H , орбитальная (ОСК) и связанная с КА (ССК) системы координат с началом в его центре масс O . Вводятся телескопная СК (ТСК, базис \mathbf{S}) с началом в центре оптического проектирования S , СК поля изображения $O_i x^i y^i z^i$ (ПСК, базис \mathbf{F}) с началом в центре O_i фокальной плоскости телескопа и визирная СК (ВСК, базис \mathbf{V}) с началом в центре O_v матрицы ОЭП. На поверхности Земли маршрут съемки отображается следом проекций ОЭП. Маршруту съемки соответствует закон углового наведения КА в функции времени, при котором происходит требуемое движение получаемого оптического изображения на поверхности ОЭП. При известном орбитальном движении центра масс КА рассматриваются задачи:

Татьяна Евгеньевна Сомова, аспирантка, младший научный сотрудник отдела «Навигации, наведения и управления движением» НИИ Проблем надежности механических систем СамГТУ. E-mail te_somova@mail.ru

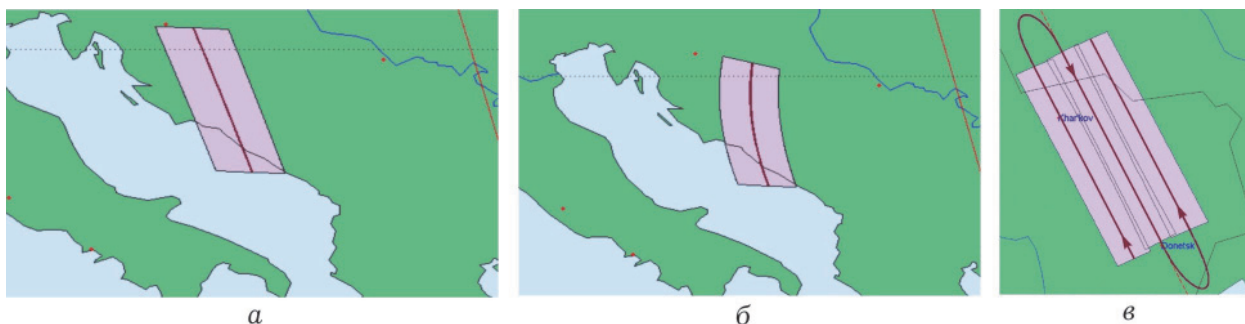


Рис. 1. Маршруты трассовой (а), с выравниванием СДИ (б) и площадной (в) съемки

1. анализа поля СДИ на матрицах ОЭП с ВЗН для трассовых, ортодромических (геодезических) и криволинейных маршрутов с выравниванием продольной СДИ;

2. аналитического представления законов углового наведения спутника;

3. применения векторного полиномиального представления законов наведения при анимации пространственного движения спутника землеобзора.

АНАЛИЗ СДИ И СИНТЕЗ ЗАКОНОВ НАВЕДЕНИЯ

Задача вычисления кватерниона Λ , векторов угловой скорости ω и ускорения ϵ решается на основе векторного сложения всех элементарных движений телескопа (ТСК) в ГСК с тщательным учетом как орбитального, так и углового положения спутника, геодезических координат наблюдаемых наземных объектов, вращения Земли и множества других факторов. Пусть векторы-столбцы ω_e^s и v_e^s представляют в ТСК угловую скорость и скорость движения центра масс КА относительно ГСК, матрица $\tilde{C} = \|\tilde{c}_{ij}\|$ определяет ориентацию ТСК относительно ГСК, а скалярная функция $D(t)$ представляет дальность наблюдения. Тогда для любой точки в фокальной плоскости телескопа продольная $\tilde{V}_y^i = \tilde{V}_y^i(\tilde{y}^i, \tilde{z}^i)$ и поперечная $\tilde{V}_z^i = \tilde{V}_z^i(\tilde{y}^i, \tilde{z}^i)$ компоненты вектора нормированной СДИ вычисляются по соотношению [8, 10]

$$\begin{bmatrix} \tilde{V}_y^i \\ \tilde{V}_z^i \end{bmatrix} = \begin{bmatrix} \tilde{y}^i & 1 & 0 \\ \tilde{z}^i & 0 & 1 \end{bmatrix} \begin{bmatrix} q^i \tilde{v}_{e1}^s - \tilde{y}^i \omega_{e3}^s + \tilde{z}^i \omega_{e2}^s \\ q^i \tilde{v}_{e2}^s - \omega_{e3}^s - \tilde{z}^i \omega_{e1}^s \\ q^i \tilde{v}_{e3}^s + \omega_{e2}^s + \tilde{y}^i \omega_{e1}^s \end{bmatrix}. \quad (1)$$

Здесь $\tilde{y}^i = y^i / f_e$ и $\tilde{z}^i = z^i / f_e$ являются нормированными фокальными координатами указанной точки, где f_e – эквивалентное фокусное расстояние телескопа, скалярная функция $q^i = 1 - (\tilde{c}_2 \tilde{y}^i + \tilde{c}_3 \tilde{z}^i) / \tilde{c}_1$ и компоненты вектора нормированной скорости поступательного движения $\tilde{v}_{ei}^s = v_{ei}^s(t) / D(t)$ $i = 1, 2, 3$. На основе (1) получаются компоненты вектора-столбца ω_e^s для всех типов сканирующей съемки, при этом расчет

текущей ориентации телескопа выполняется с помощью численного интегрирования известного нелинейного кватернионного кинематического уравнения с одновременным строгим согласованием с вектором угловой скорости. Созданные методы конкретизированы для трассовых (рис. 1 а), протяженных криволинейных маршрутов с выравниванием продольной СДИ, рис. 1 б, для площадного землеобзора с последовательностью ортодромических маршрутов, рис. 1 в, а также для получения стереоизображений выбранных наземных объектов. Отметим, что осевые линии ортодромических маршрутов соответствуют геодезическим линиям заданной высоты H над земным эллипсоидом, т.е. здесь сканирование выполняется по дуге «большого геодезического круга» между точками маршрута с заданными геодезическими координатами L, B, H и заданным временем начала выполнения маршрута сканирования.

АНАЛИТИЧЕСКОЕ ПРЕДСТАВЛЕНИЕ

Аналитическое представление законов наведения спутника при сканирующей съемке с заданной точностью основывается на полиномиальной интерполяции векторной функции модифицированных параметров Родрига $\sigma = e \operatorname{tg}(\theta/4)$ с традиционными обозначениями орта e Эйлера и угла θ собственного поворота. Векторная функция σ взаимно-однозначно связана с кватернионом $\Lambda = (\lambda_0, \lambda)$, $\lambda = \{\lambda_i\}$, $i = 1 \div 3$ явными прямыми ($\Lambda \Rightarrow \sigma$) и обратными ($\sigma \Rightarrow \Lambda$) соотношениями

$$\begin{aligned} \sigma &= \lambda / (1 + \lambda_0); \\ \lambda &= 2\sigma / (1 + \sigma^2), \quad \lambda_0 = \frac{1 - \sigma^2}{1 + \sigma^2}. \end{aligned} \quad (2)$$

Прямые и обратные кинематические уравнения для вектора σ имеют вид

$$\begin{aligned} \dot{\sigma} &= \frac{1}{4}(1 - \sigma^2)\omega + \frac{1}{2}\sigma \times \omega + \frac{1}{2}\sigma \langle \sigma, \omega \rangle; \\ \omega &= \frac{4}{(1 + \sigma^2)^2} [(1 - \sigma^2)\dot{\sigma} - 2(\sigma \times \dot{\sigma}) + 2\sigma \langle \dot{\sigma}, \sigma \rangle]. \end{aligned} \quad (3)$$

Рассмотрим временной интервал $T \equiv [0, T]$, где выполняется сканирующая съемка, и введем обозначения для четырех точек этого интервала:

$t_k \in T, t_1 = 0, t_2 = T/3, t_3 = 2T/3$ и $t_4 = T$. Пусть с помощью численного интегрирования кватернионного кинематического уравнения выполнен расчет маршрутного движения $\Lambda = \Lambda(t), \omega = \omega(t), t \in T$, на концах интервала T вычислены значения кватерниона $\Lambda_1 = \Lambda(0), \Lambda_4 = \Lambda(T)$, вектора угловой скорости $\omega_1 = \omega(0), \omega_4 = \omega(T)$, вектора углового ускорения $\varepsilon_1 = \dot{\omega}(0), \varepsilon_4 = \dot{\omega}(T)$, вектора модифицированных параметров Родрига (далее просто вектора Родрига) $\sigma_1 = \sigma(0), \sigma_2 = \sigma(t_2), \sigma_3 = \sigma(t_3), \sigma_4 = \sigma(T)$ и его производных

$$\dot{\sigma}_p = \frac{1}{4}(1 - (\sigma_p)^2)\omega_p + \frac{1}{2}\sigma_p \times \omega_p + \frac{1}{2}\sigma_p \langle \sigma_p, \omega_p \rangle; \quad (4)$$

$$\ddot{\sigma}_p = \frac{1}{2} \left[-\langle \sigma_p, \dot{\sigma}_p \rangle \omega_p + \frac{1}{2}(1 - (\sigma_p)^2)\varepsilon_p + \dot{\sigma}_p \times \omega_p + \sigma_p \times \varepsilon_p + \dot{\sigma}_p \langle \sigma_p, \omega_p \rangle + \sigma_p \langle \dot{\sigma}_p, \omega_p \rangle + \sigma_p \langle \sigma_p, \varepsilon_p \rangle \right]; \quad (5)$$

где значения индекса $p=1$ и $p=4$ соответствуют граничным точкам интервала T . Интерполяция вектора Родрига $\sigma(t) \forall t \in T$ выполняется векторным сплайном седьмого порядка $\sigma_a(t) = \sum_0^7 \mathbf{a}_s t^s$ с 8 векторами-столбцами $\mathbf{a}_s \in \mathbf{R}^3, s = 0 \div 7$ неизвестных коэффициентов. Производные векторной функции $\sigma_a(t)$ представляются очевидными соотношениями

$$\dot{\sigma}_a(t) = \sum_1^7 s \mathbf{a}_s t^{s-1}; \quad (6)$$

$$\ddot{\sigma}_a(t) = \sum_2^7 s(s-1) \mathbf{a}_s t^{s-2}.$$

Восемь векторов \mathbf{a}_s коэффициентов сплайна $\sigma_a(t)$ однозначно определяются на основе:

1) трех краевых условий $\sigma_a(0) = \sigma_1; \dot{\sigma}_a(0) = \dot{\sigma}_1; \ddot{\sigma}_a(0) = \ddot{\sigma}_1$ на левом конце интервала T , что дает

$$\mathbf{a}_0 = \sigma_1, \mathbf{a}_1 = \dot{\sigma}_1 \text{ и } \mathbf{a}_2 = \ddot{\sigma}_1 / 2; \quad (7)$$

2) двух условий $\sigma_a(t_2) = \sigma_2; \sigma_a(t_3) = \sigma_3$ в двух внутренних точках t_2 и t_3 интервала T , которые представляется соотношениями

$$\begin{aligned} \mathbf{a}_3 + \mathbf{a}_4 t_2 + \mathbf{a}_5 t_2^2 + \mathbf{a}_6 t_2^3 + \mathbf{a}_7 t_2^4 &= \mathbf{b}_3; \\ \mathbf{a}_3 + \mathbf{a}_4 t_3 + \mathbf{a}_5 t_3^2 + \mathbf{a}_6 t_3^3 + \mathbf{a}_7 t_3^4 &= \mathbf{b}_4, \end{aligned} \quad (8)$$

где $\mathbf{b}_3 = \sigma_2 - (\mathbf{a}_0 + \mathbf{a}_1 t_2 + \mathbf{a}_2 t_2^2) / t_2^3$,

$$\mathbf{b}_4 = \sigma_3 - (\mathbf{a}_0 + \mathbf{a}_1 t_3 + \mathbf{a}_2 t_3^2) / t_3^3;$$

3) трех краевых условий $\sigma_a(T) = \sigma_4; \dot{\sigma}_a(T) = \dot{\sigma}_4; \ddot{\sigma}_a(T) = \ddot{\sigma}_4$ на правом конце интервала T , что приводит к соотношениям

$$\begin{aligned} \mathbf{a}_3 + \mathbf{a}_4 t_4 + \mathbf{a}_5 t_4^2 + \mathbf{a}_6 t_4^3 + \mathbf{a}_7 t_4^4 &= \mathbf{b}_5; \\ 3\mathbf{a}_3 + 4\mathbf{a}_4 t_4 + 5\mathbf{a}_5 t_4^2 + 6\mathbf{a}_6 t_4^3 + 7\mathbf{a}_7 t_4^4 &= \mathbf{b}_6; \quad (9) \\ 6\mathbf{a}_3 + 12\mathbf{a}_4 t_4 + 20\mathbf{a}_5 t_4^2 + 30\mathbf{a}_6 t_4^3 + 42\mathbf{a}_7 t_4^4 &= \mathbf{b}_7, \end{aligned}$$

где $\mathbf{b}_5 = \sigma_4 - (\mathbf{a}_0 + \mathbf{a}_1 t_4 + \mathbf{a}_2 t_4^2) / t_4^3$,

$$\mathbf{b}_6 = \dot{\sigma}_4 - (\mathbf{a}_1 + 2\mathbf{a}_2 t_4) / t_4^2, \mathbf{b}_7 = \ddot{\sigma}_4 - 2\mathbf{a}_2 / t_4.$$

Для определения пяти векторов $\mathbf{a}_s, s = 3 \div 7$ на основе (7) – (9) формируется соотношение $\mathbf{A}\mathbf{C} = \mathbf{B}$, где строчные матрицы $\mathbf{A} = [\mathbf{a}_3, \mathbf{a}_4, \mathbf{a}_5, \mathbf{a}_6, \mathbf{a}_7]$; $\mathbf{B} = [\mathbf{b}_3, \mathbf{b}_4, \mathbf{b}_5, \mathbf{b}_6, \mathbf{b}_7]$; $\mathbf{C} = [\mathbf{c}_3, \mathbf{c}_4, \mathbf{c}_5, \mathbf{c}_6, \mathbf{c}_7]$ составлены из столбцов $\mathbf{a}_s, \mathbf{b}_s, \mathbf{c}_3 = \mathbf{t}_2; \mathbf{c}_4 = \mathbf{t}_3; \mathbf{c}_5 = \mathbf{t}_4; \mathbf{c}_6 = \mathbf{D}_6 \mathbf{t}_4$ и $\mathbf{c}_7 = \mathbf{D}_7 \mathbf{t}_4$ при $\mathbf{t}_p = \{1, t_p, t_p^2, t_p^3, t_p^4\}, p = 2, 3, 4$ и матрицах $\mathbf{D}_6 = \text{diag}\{3, 4, 5, 6, 7\}$, $\mathbf{D}_7 = \text{diag}\{6, 12, 20, 30, 42\}$. Вычисление сразу всех пяти искомым столбцов $\mathbf{a}_s, s = 3 \div 7$ выполняется по явному матричному соотношению $[\mathbf{a}_3, \mathbf{a}_4, \mathbf{a}_5, \mathbf{a}_6, \mathbf{a}_7] = \mathbf{B}\mathbf{C}^{-1}$.

ТОЧНОСТЬ ПРЕДСТАВЛЕНИЯ

Согласованные кинематические параметры расчетного движения $\Lambda = \Lambda(t), \omega = \omega(t), t \in T$ спутника, полученные интегрированием кватернионного уравнения $\dot{\Lambda}(t) = \Lambda(t) \circ \omega(t) / 2$ с нормировкой кватерниона на каждом шаге интегрирования, принимаются за программные координатные функции движения спутника при выполнении сканирующей съемки.

Кватернион $\mathbf{E} = (\mathbf{e}_0, \mathbf{e})$ рассогласования между кватернионом $\Lambda(t)$ и кватернионом $\Lambda_a(t)$ его полиномиальной интерполяции, который соответствует вектору Родрига $\sigma_a(t)$ и вычисляется по обратному кинематическому уравнению в (3), определяется как $\mathbf{E}(t) \equiv (\mathbf{e}_0(t), \mathbf{e}(t)) = \tilde{\Lambda}(t) \circ \Lambda_a(t)$. При этом вектор параметров Эйлера $\mathbf{E} = \{\mathbf{e}_0, \mathbf{e}\}$, ортогональная матрица погрешности интерполяции $\mathbf{C}_e = \mathbf{I}_3 - 2[\mathbf{e} \times] \mathbf{Q}_e^t$, где $\mathbf{Q}_e = \mathbf{I}_3 \mathbf{e}_0 + [\mathbf{e} \times]$, вектор-столбец $\delta\phi = \{\delta\phi_i\}$ малых углов погрешности интерполяции $\delta\phi = -2\mathbf{e}_0 \mathbf{e}$.

Вектор $\delta\omega$ погрешности аппроксимации вектора угловой скорости $\omega(t)$ определяется в ССК как $\delta\omega(t) = \omega(t) - \mathbf{C}_e \omega_a(t)$.

Выполнен численный анализ зависимости длительности T различных маршрутов всех указанных выше типов съемки при обеспечении заданной точности интерполяции вектора $\sigma(t)$ единым векторным сплайном $\sigma_a(t)$ седьмого порядка.

Исходные данные расчетов: круговая солнечно-синхронная орбита высотой 600 км, долгота восходящего узла орбиты (ВУО) 131 град; методы съемки – трассовая, ортодромическая и с выравниванием продольной СДИ; длительность съемки 80 с, начало съемки в момент времени 535 с от времени прохождения ВУО; начальная точка маршрута соответствует углам крена –30 град и

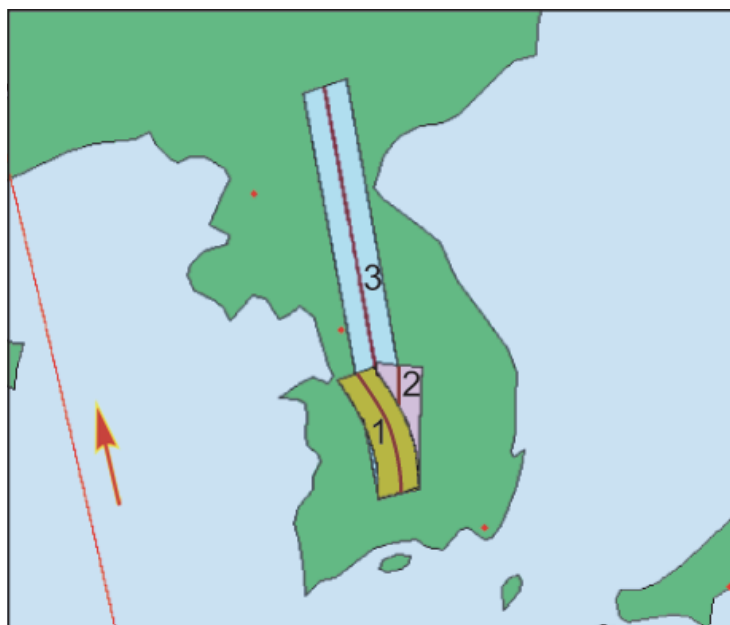


Рис. 2. Маршруты съемки:
1 – с выравниванием, 2 – ортодромическая, 3 – трассовая

тангажа +20 град, рис. 2. При этих исходных данных максимальные отклонения аппроксимации от программы движения по углу $\delta\phi^m = \max |\delta\phi|$ и по угловой скорости $\delta\omega^m = \max |\delta\omega|$ в зависимости от длительности T маршрута съемки приведены в табл. 1.

Некоторые результаты, полученные интерполяцией различных маршрутов съемки на интервале T длительности $T = 80$ с при гладкой «склежке» двух векторных полиномов 7-го порядка на временных интервалах длительностью $T = 40$ с, представлены на рис. 3 – 5.

Таблица 1. Исходные данные расчетов

T, c	$\delta\phi^m, \text{угл. с}$	$\delta\omega^m, \text{град/с}$
4	$2 \cdot 10^{-4}$	$1.5 \cdot 10^{-7}$
10	$2 \cdot 10^{-3}$	$4 \cdot 10^{-7}$
20	0.01	$1.5 \cdot 10^{-6}$
40	0.03	$2 \cdot 10^{-6}$
80	1.5	$6 \cdot 10^{-5}$

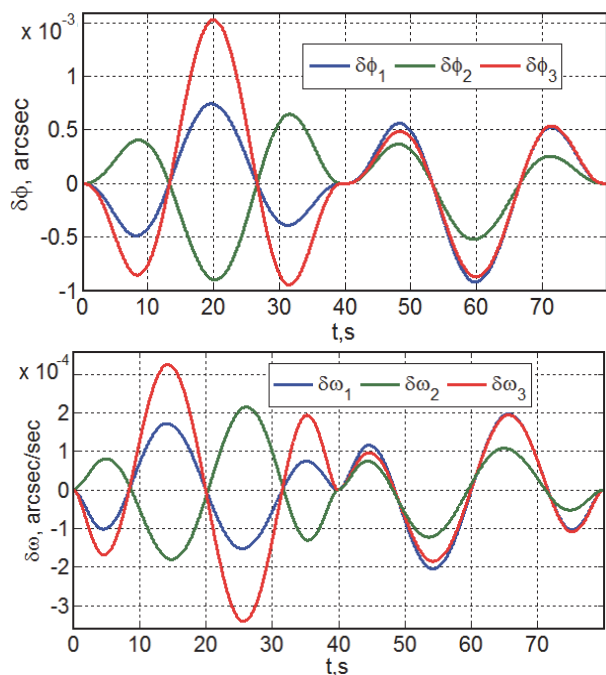


Рис. 3. Погрешности интерполяции маршрута с выравниванием СДИ

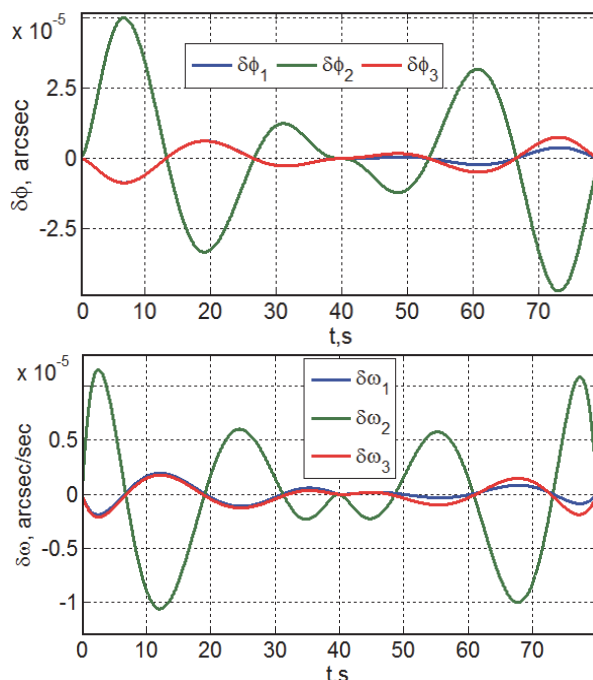


Рис. 4. Погрешности интерполяции маршрута трассовой съемки

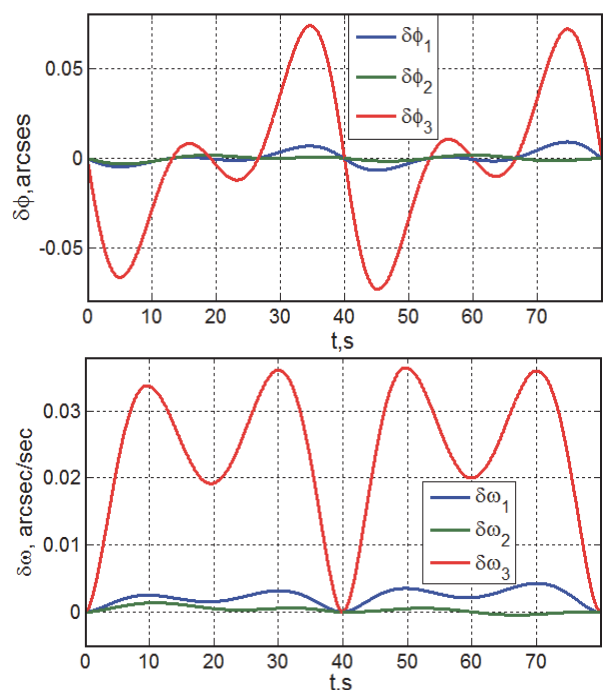


Рис. 5. Погрешности интерполяции маршрута ортодромической съемки

ПРИМЕНЕНИЕ ПРИ АНИМАЦИИ

Для повышения надежности и живучести системы управления движением (СУД) спутника землеобзора при отказах бортовых приборов в наземном центре управления полетом (ЦУП) обеспечивается её полетная поддержка. Для операторов ЦУП важная проблема состоит в восприятии фактической ориентации спутника относительно направлений на объекты внешней космической обстановки при возникновении аварийной ситуации в работе СУД, когда ее ресурсы не позволяют выполнить автоматическую диагностику и восстановление работоспособности СУД за счет реконфигурации контура управления. При этом используется поступающая с борта КА телеметрическая информация оперативного контроля (ИОК), где содержатся данные о значениях основных переменных состояния бортовых систем в моменты времени $t_s = s T_i, s \in N_0 \equiv [0,1,2,\dots]$ с периодом $T_i > T_q$, где T_q – период дискретности измерений в СУД.

Наряду с информацией, необходимой для диагностики работы СУД, в составе ИОК присутствуют измеренные данные о кинематических параметрах как движения центра масс – векторах $\mathbf{r}_s = \mathbf{r}(t_s), \mathbf{v}_s = \mathbf{v}(t_s)$, так и углового движения – кватернионе $\Lambda_s = \Lambda(t_s)$ ориентации спутника в ИСК, которые получаются по сигналам GPS/ГЛОНАСС и бесплатформенной инерциальной навигационной системы соответственно, с «привязкой» к полетному времени.

Для полетного сопровождения СУД операторами ЦУП применяется система поддержки при-

нятия решений (СППР) [11,12]. В этой системе выполняются декодирование телеметрической ИОК, декомпозиция информации по принадлежности к конкретным бортовым системам, локализация отказов бортовой аппаратуры, подготовка данных и выполнение уточняющего имитационного моделирования (при необходимости) и далее в диалоге с операторами по решающим правилам в составе базе знаний СППР формируются рекомендации о необходимых действиях. Наличие в ЦУП среды анимации позволяет исключить проблему восприятия ориентации спутника: на двух соседних (кооперированных) мониторах одновременно отображаются пространственные движения спутника на основе как данных телеметрической ИОК, так и результатов компьютерной имитации движения КА [13].

Для компьютерной анимации движения спутника с достойным качеством изображения, в общем случае при изменении положения панелей солнечных батарей (СБ), необходимо обеспечить плавность вариации кинематических параметров движения как корпуса КА, так и панелей СБ. Получаемая с борта КА телеметрическая ИОК в части указанных кинематических параметров на полном интервале времени $t \in [t_0^a, t_0^a + T^a]$ анимации сначала проходит обработку на основе скользящей полиномиальной аппроксимации по методу наименьших квадратов (МНК) с целью подавления погрешностей измерений. Как отмечено выше, кватернион ориентации Λ взаимно-однозначно связан с вектором Родрига σ явными аналитическими соотношениями, которые позволяют свести проблему сглаживания кватернионных данных к обычной задаче аппроксимации векторных измерений.

Сущность скользящей полиномиальной аппроксимации массивов значений векторов $\mathbf{r}_s, \mathbf{v}_s, \sigma_s$ и координат углового положения панелей СБ заключается в применении МНК для алгоритмически назначаемого набора участков этих массивов с различной длительностью и взаимными «перекрытиями» смежных участков по краям в 7 точках с доступным периодом T_i . При этом сначала назначаются участки, соответствующие маршрутам сканирующей оптико-электронной съемки, где аппроксимация значений σ_s вектора Родрига выполняется векторными сплайнами 7-го порядка. Затем определяются участки массивов, связанные с выполнением пространственных поворотных маневров спутника между соответствующими маршрутами. Отмеченные «перекрытия» участков позволяют обеспечить гладкое сопряжение краевых условий движения КА на границах смежных участков.

На завершающем этапе подготовки к анимации движения спутника выполняется интерполяция разнотипных полиномиальных зависимостей гладко «склеенных» векторных и скалярных функций времени с помощью со-

гласованной системы векторных сплайнов 3-го порядка. Кратко представим применяемую методику интерполяции вектора Родрига $\sigma^a(t)$ на интервале времени анимации с длительностью T^a , кратной периоду T_i .

Пусть по явным аналитическим соотношениям получаются значения вектора Родрига $\sigma^a(t_s)$ в моменты времени $t_s \in [t_0^a, t_f^a]$, где $t_f^a = t_0^a + T^a$, $t_s = sT_i$, $s = 0 \div n_a$, $n_a = T^a / T_i$. Задача интерполяции векторной функции $\sigma^a(t)$ с периодом T_i , когда период $T_i > T_i$ и кратен T^a , состоит в гладкой композиции векторной функции времени

$\mathbf{p}(t) \equiv \sigma^i(t) \quad \forall t \in [t_0^a, t_f^a]$ из векторных сплайнов $\mathbf{p}_k(t)$ при условиях $\mathbf{p}(t_k) \equiv \sigma^a(t_k)$, $k = 0 \div n$.

Если ввести сплайны $\mathbf{p}_k(\tau)$, $k = 0 \div (n-1)$ в нормированном времени $\tau = (t - t_k) / T_i \in [0, 1]$, то при обозначениях $\mathbf{p}_k(0) = \mathbf{p}_k$ и $\mathbf{p}'_k(0) = \mathbf{p}'_k$, где $\mathbf{p}'_k(\tau) \equiv d\mathbf{p}_k(\tau) / d\tau$, сплайн $\mathbf{p}_k(\tau)$ на сегменте $m \equiv k + 1$, $k = 0 \div (n-1)$ представляется в виде $\mathbf{p}_k(\tau) = \mathbf{F}(\tau) \cdot \mathbf{G}_k$, где составные строка $\mathbf{F}(\tau) = [F_1(\tau), F_2(\tau), F_3(\tau), F_4(\tau)]$ и столбец $\mathbf{G}_k = \{\mathbf{p}_k, \mathbf{p}_{k+1}, \mathbf{p}'_k, \mathbf{p}'_{k+1}\}$, и использованы нормированные к длине сегмента T_i кубические функции Эрмита

$$F_1(\tau) = \tau^2(2\tau - 3) + 1; F_2(\tau) = -\tau^2(2\tau - 3);$$

$$F_3(\tau) = T_i \tau(\tau - 1)^2; F_4(\tau) = T_i \tau^2(\tau - 1).$$

На m -ом сегменте интерполяции компактный вид сплайна $\mathbf{p}_k(\tau) = \mathbf{n}_0^k + \tau \mathbf{n}_1^k + \tau^2 \mathbf{n}_2^k + \tau^3 \mathbf{n}_3^k$ следует из соотношения

$$\mathbf{p}_k(\tau) = \mathbf{F}(\tau) \mathbf{G}_k = [1, \tau, \tau^2, \tau^3] \{\mathbf{n}_0^k, \mathbf{n}_1^k, \mathbf{n}_2^k, \mathbf{n}_3^k\},$$

где

$$\mathbf{n}_0^k = \mathbf{p}_k; \mathbf{n}_1^k = T_i \mathbf{p}'_k; \mathbf{n}_2^k = -3(\mathbf{p}_k - \mathbf{p}_{k+1}) - T_i(2\mathbf{p}'_k + \mathbf{p}'_{k+1}),$$

$$\mathbf{n}_3^k = 2(\mathbf{p}_k - \mathbf{p}_{k+1}) + T_i(\mathbf{p}'_k + \mathbf{p}'_{k+1}).$$

При условиях $\mathbf{p}(t_k) \equiv \sigma^a(t_k)$, $k = 0 \div n$ и $\mathbf{p}'_0 \equiv \dot{\mathbf{p}}(t_0^a) = \dot{\sigma}^a(t_0^a)$, $\mathbf{p}'_n \equiv \dot{\mathbf{p}}(t_f^a) = \dot{\sigma}^a(t_f^a)$ входящие в состав составных векторов \mathbf{G}_k векторы \mathbf{p}'_k определяются из векторно-матричного уравнения $\mathbf{Q} \mathbf{P}' = \mathbf{R}$. Здесь векторы $\mathbf{P}' = \{\mathbf{p}'_k, k = 0 \div n\}$, $\mathbf{R} = \{\mathbf{p}'_0, \{3(\mathbf{p}_{k+1} - \mathbf{p}_{k-1}) / T_i, k = 1 \div n - 1\}, \mathbf{p}'_n\}$

и $(n+1) \times (n+1)$ ленточная трехдиагональная матрица

$$\mathbf{Q} = \begin{bmatrix} 1 & 0 & \cdot & \cdot & \cdot & \cdot & \cdot \\ 1 & 4 & 1 & 0 & \cdot & \cdot & \cdot \\ 0 & 1 & 4 & 1 & 0 & \cdot & \cdot \\ \cdot & \cdot & \cdot & \cdot & \cdot & \cdot & \cdot \\ \cdot & \cdot & 0 & 1 & 4 & 1 & 0 \\ \cdot & \cdot & \cdot & 0 & 1 & 4 & 1 \\ \cdot & \cdot & \cdot & \cdot & \cdot & 0 & 1 \end{bmatrix},$$

заведомо не вырождена, ее обращение выполняется только один раз методом исключения Гаусса.

В результате такой интерполяции получаются явные аналитические представления всех векторных $\mathbf{r}^i(t)$, $\mathbf{v}^i(t)$, $\sigma^i(t)$ и скалярных координатных функций, которые далее используются для анимации пространственного движения спутника с требуемым качеством изображения.

Текущее положение ОСК в ИСК определяется по классическому алгоритму TRIAD на основе значений ортов векторов $\mathbf{r}^i(t)$ и $\mathbf{v}^i(t)$. Далее по стандартным соотношениям вычисляются значения орта направления на Землю, кватерниона ориентации ОСК относительно ИСК, а также кватерниона ориентации ССК относительно ОСК. Значения ортов направления на Солнце, Луну и другие характерные внешние ориентиры вычисляются на основе известных соотношений механики космического полета сначала в ИСК, а затем в ОСК.

Формируемые как при обработке телеметрической ИОК, так и в процессе компьютерной имитации наборы сплайнов, интерполирующие значения всех необходимых векторных и скалярных функций времени, применяются в подсистеме анимации и получаемая операторами ЦУП видеоинформация используется при полетном сопровождении спутников землеобзора с привлечением экспертных возможностей СППР.

Аппроксимация углового движения спутника векторными сплайнами позволяет существенно упростить анимацию пространственного движения космического аппарата. Рис. 6 представляет два кадра анимации движения спутника землеобзора при тестовом задании на космическую сканирующую съёмку, которое детально описано в [13-15].

В настоящее время некоторые российские университеты (МГУ им. М.В. Ломоносова, СГАУ им. С.П. Королева и др.) уже имеют на орбите либо совместно с предприятиями космической отрасли разрабатывают малые космические аппараты, включая мини-спутники землеобзора. Описанная компьютерная среда анимации полезна для использования в ЦУП университетских спутников [16,17]. Возможности применения этой среды анимации для обучения студентов и аспирантов в технических университетах и факультетах аэрокосмического профиля представлены в [18].

ЗАКЛЮЧЕНИЕ

Кратко описаны методы аналитического представления законов углового наведения спутника землеобзора при сканирующей оптико-электронной съёмке и разработанные программные средства для анимации его пространственного движения с отображением маршрутов съёмки на поверхности Земли. Приведены результаты практического применения разработанных алгоритмов аналитического представления законов



Рис. 6. Два кадра анимации движения спутника землеобзора

наведения при анимации движения спутника землеобзора и полетном сопровождении его системы управления.

СПИСОК ЛИТЕРАТУРЫ

1. Морозов В.П. Курс сфероидической геодезии. М.: Недра. 1979.
2. Гонин Г.Б. Космическая фотосъемка для изучения природных ресурсов. М.: Недра. 1980.
3. Урмаев М.С. Орбитальные методы космической геодезии. М.: Недра, 1981.
4. Бугаевский Л.М., Портнов А.М. Теория одиночных космических снимков. М.: Недра, 1984.
5. Баранов В.Н., Бойко Е.Г. и др. Космическая геодезия. М.: Недра. 1986.
6. Урмаев М.С. Космическая фотограмметрия. М.: Недра, 1989.
7. Seeber G. Space geodesy. - Berlin - New York, Walter de Gruyter. 2003.
8. Сомов Е.И., Бутырин С.А. Алгоритмы наведения и гиросилового управления ориентацией спутников землеобзора при сканирующей оптико-электронной съемке // Труды научно-технической конференции «Техническое зрение в системах управления 2012». М.: ИКИ РАН. 2012. С. 61-69.
9. Somov Ye.I., Butyrin S.A., Somov S.Ye., Somova T.Ye. SIRIUS-S software environment for computer-aided designing of attitude control systems for small information satellites // Proceeding of 20th Saint Petersburg international conference on integrated navigation systems. 2013. P. 325-328.
10. Сомов Е.И., Бутырин С.А., Сомова Т.Е., Сомов С.Е. Оптимизация режимов сканирующей оптико-электронной съемки и 3D-анимация движения маневрирующего спутника землеобзора // Техническое зрение. 2013. № 1. С. 15-22.
11. Сомов Е.И., Бутырин С.А., Герасин И.А. и др. О разработке системы поддержки принятия решений оператора в ЦУП автоматических космических аппаратов // Труды 8-го Всероссийского научно-технического семинара по управлению движением и навигации летательных аппаратов. Самара: СГАУ. 1997. Том 2. С. 116-121.
12. Буянов Б.Б., Лубков Н.В., Поляк Г.Л. Система поддержки принятия управленческих решений с применением имитационного моделирования // Проблемы управления. 2006. № 6. С. 43-49.
13. Сомова Т.Е. Применение имитации и анимации для полетной поддержки систем управления информационных спутников // Проблемы управления. 2014. № 5. С. 70-78.
14. Сомова Т.Е. Моделирование и анимация пространственного движения маневрирующего спутника землеобзора // Известия Самарского научного центра РАН. 2012. Том 14. № 6. С. 125-128.
15. Somova T. Digital and pulse-width attitude control, imitation and animation of land-survey mini-satellite // Proceedings of 7th IEEE/AIAA international conference on recent advances in space technologies. 2015. P. 765 -770.
16. Сомова Т.Е. Компьютерные технологии имитации и анимации для полетной поддержки системы управления движением мини-спутника землеобзора // Материалы XI Всероссийской школы-конференции молодых ученых «Управление большими

- системами». М.: ИПУ РАН. 2014. С. 857- 873.
17. *Сомова Т.Е.* Алгоритмы имитации и анимации для полетной идентификации и поддержки системы управления движением мини-спутника // Труды 10 международной конференции «Идентификация систем и задачи управления». М.: ИПУ РАН. 2015. С. 1078-1089.
18. *Сомова Т.Е.* Применение 3D-анимации при обучении полетной поддержке систем управления информационных спутников // Труды XII Всероссийского совещания по проблемам управления. М.: ИПУ РАН. 2014. С. 9502-9514.

**VECTOR POLYNOMIAL REPRESENTATION OF GUIDANCE LAWS
AND ANIMATION OF A SURVEY SATELLITE MOTION**

© 2015 T.Ye. Somova

Samara State Technical University
Research Institute for Problems of Mechanical Systems Reliability

We have shortly present methods for analytical representation of the land-survey spacecraft attitude guidance laws at a scanning optoelectronic observation and elaborated software for animation of spatial motion by a land-survey spacecraft with a mapping the observation courses on the Earth surface.

Key words: land-survey satellite, attitude guidance laws, animation of motion.